

LECTIA 6: PROBLEME PLANE (CONTINUARE); COORDONATE CILINDRICE (3 Dim) ȘI POLARE (2DIM)

6.1 Probleme plane (PP) continuare

Rezumat: Lecția 5

$$\underline{\underline{L}}_{(2x2)} = \underline{\underline{D}}_{2x3}^T \underline{\underline{E}}_{3x3} \underline{\underline{D}}_{3x2} = \frac{E}{1-\nu^2} \begin{bmatrix} \frac{\partial^2}{\partial x^2} + \frac{1-\nu}{2} & \frac{\partial^2}{\partial y^2} & | & \frac{1+\nu}{2} & \frac{\partial^2}{\partial x \partial y} \\ \frac{1+\nu}{2} & \frac{\partial^2}{\partial x \partial y} & | & \frac{\partial^2}{\partial y^2} + \frac{1-\nu}{2} & \frac{\partial^2}{\partial x^2} \end{bmatrix} \begin{Bmatrix} u_x \\ u_y \end{Bmatrix}$$

➤ Com: Relația a fost cu E și $\nu(PP_\sigma)$

➤ Ex.6.1:

- i. Rescrie operatorul $\underline{\underline{L}}_{(2x2)}$ folosind E^* și $\nu^*(PP_\varepsilon)$
- ii. Să se arate că $G^* = G$ (modulul de elasticitate transversal rămâne nemodificat)

Indicație : $E^* = \frac{E}{1-\nu^2}; \quad \nu^* = \frac{\nu}{1-\nu}, \quad G = \frac{E^*}{2(1+\nu^*)}$

Exemplu:
$$\begin{bmatrix} \frac{E^*}{1-\nu^{*2}} & \frac{\partial^2}{\partial x^2} + \frac{1-\nu^*}{2} & \frac{\partial^2}{\partial y^2} & | & \dots \\ - & - & - & | & \dots \end{bmatrix}$$

$$G^* = \frac{E^*}{2(1+\nu^*)} = \dots = \frac{E}{2(1+\nu)}$$

Rezultatul $G^* = G$ va fi folosit în fotoelasticitate !

Fotoelasticitatea – tehnică de lucru (în laborator) cu modele alcătuite dintr-un material asemănător plexiglasului supuse analizei cu lumină polarizată.

Rezultatul prelucrării imaginilor reprezintă câmpul de tensiuni din elemente de construcție studiat.

Remember: În 1955 prof. M. Iosipescu (INCERC), specialist în Fotoelasticitate.

➤ Ex. 6.2: Dezvoltați ecuația Lamé pentru probleme plane aducându-le la forma :

$$\left\{ \begin{array}{l} \frac{E}{1-\nu^2} \left[\left(\frac{\partial^2}{\partial x^2} + \frac{1-\nu}{2} \cdot \frac{\partial^2}{\partial y^2} \right) u_x + \left(\frac{1+\nu}{2} \frac{\partial^2}{\partial x \partial y} \right) u_y \right] + \rho f_x = 0 \quad (ec.1) \\ \frac{E}{1-\nu^2} \left[\left(\frac{1+\nu}{2} \frac{\partial^2}{\partial x \partial y} \right) u_x + \left(\frac{\partial^2}{\partial y^2} + \frac{1-\nu}{2} \frac{\partial^2}{\partial x^2} \right) u_y \right] + \rho f_y = 0 \quad (ec.2) \end{array} \right.$$

Sau, echivalent:

$$\left\{ \begin{array}{l} \frac{E}{1-\nu^2} \left[\frac{\partial^2 u_x}{\partial x^2} + \frac{1-\nu}{2} \frac{\partial^2 u_x}{\partial y^2} + \frac{1+\nu}{2} \frac{\partial^2 u_y}{\partial x \partial y} \right] + \rho f_x = 0 \quad (\text{ec.1}) \\ \frac{E}{1-\nu^2} \left[\frac{1+\nu}{2} \frac{\partial^2 u_x}{\partial x \partial y} + \frac{\partial^2 u_y}{\partial y^2} + \frac{1-\nu}{2} \frac{\partial^2 u_y}{\partial x^2} \right] + \rho f_y = 0 \quad (\text{ec.2}) \end{array} \right.$$

➤ **Ex.6.3:** Să se introducă operatorul $\nabla^2 = \frac{\partial^2}{\partial x^2} + \frac{\partial^2}{\partial y^2}$ în ecuațiile Lamé:

Indicație:

$$\left\{ \begin{array}{l} \text{ec 1 Lame'} \Rightarrow \frac{E}{1-\nu^2} \left[\underbrace{\frac{\partial^2 u_x}{\partial x^2} + \frac{\partial^2 u_x}{\partial y^2}}_{\bar{\nabla}^2 u_x} - \frac{\partial^2 u_x}{\partial y^2} + \dots \right] + \rho f_x = 0 \\ \text{ec 2 Lame'} \Rightarrow \dots \end{array} \right.$$

$$\boxed{\left. \begin{array}{l} \text{PP} | \text{ LAME} \Rightarrow \frac{E}{1-\nu^2} \left[\nabla^2 u_x - \frac{1+\nu}{2} \frac{\partial^2 u_x}{\partial y^2} + \frac{1+\nu}{2} \frac{\partial^2 u_y}{\partial x \partial y} \right] + \rho f_x = 0 \quad (\text{ec.1}) \\ \frac{E}{1-\nu^2} \left[\nabla^2 u_y - \frac{1+\nu}{2} \frac{\partial^2 u_y}{\partial x^2} + \frac{1+\nu}{2} \frac{\partial^2 u_x}{\partial x \partial y} \right] + \rho f_y = 0 \quad (\text{ec.2}) \end{array} \right.}$$

➤ **Ex.6.4:** Demonstrați **principiul fotoelasticității** (~1945) (se negligează forțele masice: $\rho f_x, \rho f_y, \rho f_z$: pentru problemele plane (2 Dim) (ecuația FotoPP); generalizare în cazul (3 Dim) (ec. Foto3D)

$$(\text{ec. FotoPP}) \quad \nabla^2 (\varepsilon_{xx} + \varepsilon_{yy}) = 0 \dots (\text{PP})$$

$$(\text{ec. Foto3D}) \quad \nabla^2 (\varepsilon_{xx} + \varepsilon_{yy} + \varepsilon_{zz}) = 0 \dots (3D)$$

Indicație: se va obține numai rezultatul (Ec.FotoPP) acționând astfel: (ec.1) din sistemul Lamé se derivează în raport cu x, (ec. 2) din sistemul Lamé se derivează în raport cu y iar rezultatele se însumează:

$$\Rightarrow \frac{E}{1-\nu^2} \left[\underbrace{\nabla^2 \left(\frac{\partial u_x}{\partial x} \right)}_{\text{vezi G1; } \varepsilon_{xx}} + \underbrace{\nabla^2 \left(\frac{\partial u_y}{\partial y} \right)}_{\varepsilon_{yy}} + \dots \right] = 0$$

$$\Rightarrow \nabla^2 (\varepsilon_{xx} + \varepsilon_{yy}) = 0 \quad (\text{ec. FotoPP})$$

Rezultatul FotoPP se obține prin generalizarea ecuației FOTOPP; în practică, fotoelasticitatea 3D necesită instalații de înghețare a modelului 3D, după care acest este tăiat în felii („fâșii”) PP_ε , care, înghețate fiind, conservă rezultatele pentru analiza cu ajutorul luminii polarizate. Tehnica de lucru 3D e dificilă, de curând s-a trecut la **tehnica holografică**.

6.2 TLE în coordonate cilindrice (3D) și polare (PP)

Coordonatele cilindrice și coordonatele polare sunt utilizate pentru formularea convenabilă (ca format) a unor probleme practice importante din TLE.

Semispațiul elastic- fig. 6.1 **semiplanul elastic-** fig. 6.2.

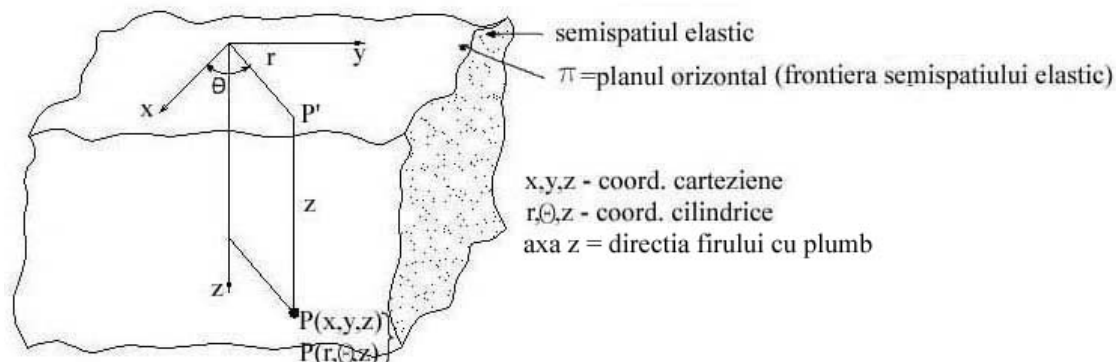


Fig.6.1: Semispațiul elastic; pentru construcții axa z are direcția și sensul firului cu plumb.

- **Definiția 6.1:** Un mediu continuu limitat de planul orizontal $z=0$ denumește semispațiul elastic.

Caracterizare: I se zice semispațiu dar este infinit; utilizare: corpul deformabil pentru căi de comunicații.

Noțiunea “soluție la infinit” ex: $u_z = 0 | z \rightarrow \infty$ (tasare se “stinge” spre ∞)

- *Com:* coordonatele polare nu fac uz de coordonata z_ϕ ; $P(r, \theta)$ este un punct definit în coordonate polare coordonate polare ($z=0$)
- **Definiția 6.2 : Semiplanul elastic** (fig.6.2) ; este rezultatul intersecției semispațiului elastic cu un plan vertical, (încărcarea $p=\text{const}$. este rectilinie de la $+\infty$ la $-\infty$ și are direcția z).

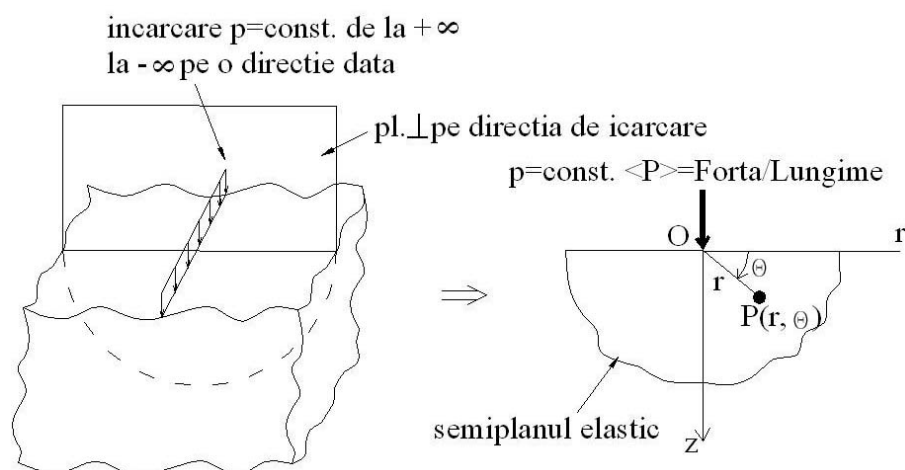


Fig. 6.2: Semiplanul elastic; rezultatul intersecției semispațiului elastic cu un plan vertical; semiplanul este definit în reperul r o $z \perp \pi$.

- **Ex. 6.5:** Definiția semispațiului elastic.
- **Ex. 6.6:** Definiția semiplanului elastic.
- *Com:* Boussinesq (~1880) a elaborat primul model de calcul în care semispațiu elastic a fost utilizat drept **solid deformabil pentru TLE**.

Baze canonice în coordonate cilindrice (polare) –fig.6.3 Modelul **solidului deformabil** se edifică, în mod tradițional, folosind reperul matematic ox_yz din fig. 6.3

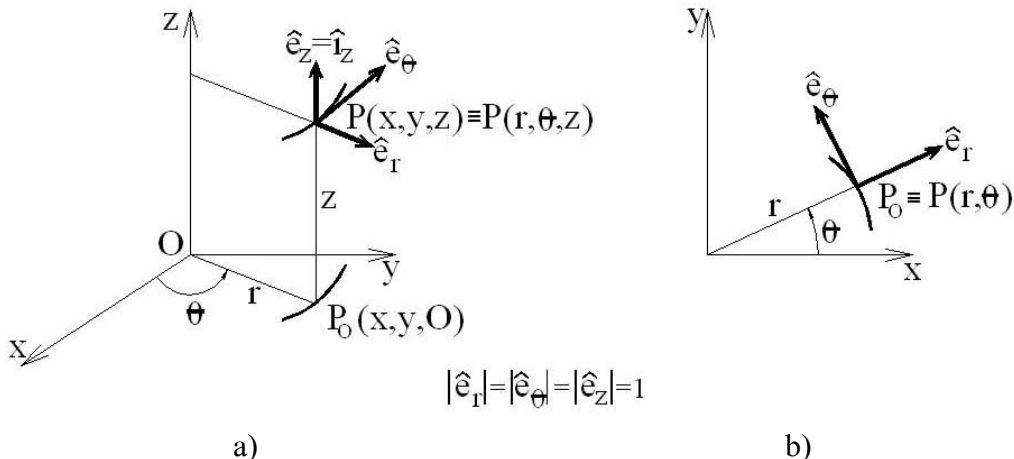


Fig.6.3: Baze canonice utilizate în Mecanica Solidului Deformabil (MSD) pentru reperele:

- a) coordinate cilindrice (3 Dim); $\hat{e}_r, \hat{e}_\theta, \hat{e}_z \equiv \hat{i}_z$
- b) coordinate polare (2 Dim) \hat{e}_r și \hat{e}_θ

- **Ex.6.7:** Completați baza canonica pentru semispațiul elastic utilizat în construcții (fig. 6.1) și semiplanul elastic (fig. 6.2)

➤ **Ex. 6.8:** Seminar- Studiul **S1(PP)** în coordonate polare (r, θ)
Rezultat: ecuațiile diferențiale de echilibru, scrise în coordonate polare (r, θ)

S1(PP,polare)

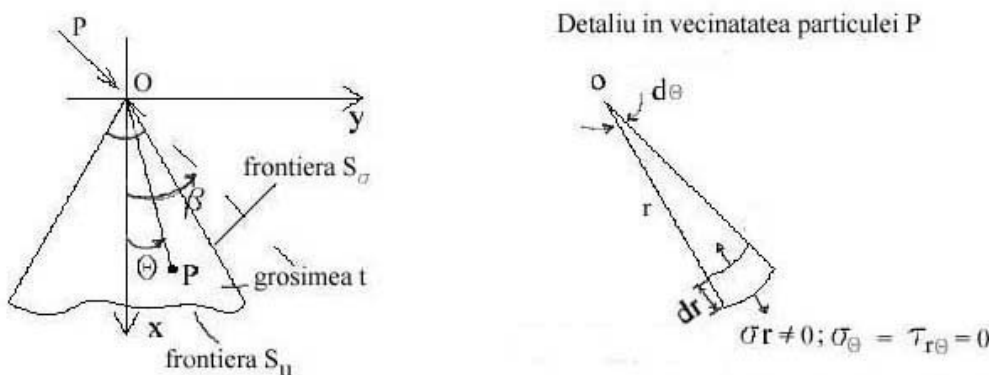
$$\begin{cases} \frac{\partial \sigma_r}{\partial r} + \frac{1}{r} \frac{\partial \tau_{r\theta}}{\partial \theta} + \frac{\sigma_r - \sigma_\theta}{r} + \rho f_r = 0 \\ \frac{1}{r} \frac{\partial \sigma_\theta}{\partial \theta} + \frac{\partial \tau_{r\theta}}{\partial r} + \frac{2\tau_{r\theta}}{r} + \rho f_\theta = 0 \end{cases}$$

- **Ex. 6.9:** Seminar **G1(PP,polare)** : relațiile diferențiale între deplasări și deformațiile specifice:

Rezultat: relațiile diferențiale între deplasări și deformațiile specifice:

$$\mathbf{G}_1(\text{PP, polare}) \quad \begin{cases} \varepsilon_r = \frac{\partial u_r}{\partial r} \\ \varepsilon_\theta = \frac{u_r}{r} + \frac{1}{r} \frac{\partial u_\theta}{\partial \theta} \\ \gamma_{r\theta} = \frac{1}{r} \frac{\partial u_r}{\partial \theta} + \frac{\partial u_\theta}{\partial r} - \frac{u_\theta}{r} \end{cases}$$

6.3 Aplicații rezolvate în coordonate polare (seminar); problema panei elastice (Mitchell 1900) fig. 6.4.



Fi. 6.4: Problema panei elastice (Mitchell , 1900)

➤ Desciere:

$$\text{Problema} \quad \begin{cases} PP_\sigma - \text{grosimea} \text{ .., incarcarea este } \frac{P}{t} \\ PP_\varepsilon - \text{grosimea } t = 1, \text{ incarcarea este } P \end{cases}$$

Notății: coordonate polare : $r, \theta, r = \overline{OP}$; $2\alpha =$ deschiderea panei elastice: rezemare la ∞ (frontiera S_u).

Stare de tensiune în vecinătatea particulei P(r, θ); (soluția Mitchell):

$$\underline{\underline{\sigma}}_{(2x2)}|_{PP} = \begin{bmatrix} \sigma_r & \tau_{r\theta} \\ \tau_{\theta r} & \sigma_\theta \end{bmatrix} = \begin{bmatrix} \sigma_r & 0 \\ 0 & 0 \end{bmatrix}$$

Interesează și deplasarea punctului P: $u_{r(2x1)} = \begin{Bmatrix} u_r \\ u_\theta \end{Bmatrix} = \begin{Bmatrix} u \\ \theta \end{Bmatrix}$ (funcția deplasare $\vec{u} = u_r \hat{e}_r + u_\theta \hat{e}_\theta$

nu face obiectul cursului de față). Se face doar observația conform căreia S_u este o frontieră depărtată ($r \rightarrow \infty$), de-a lungul căreia deplasarea punctului P este identic nulă.

Soluția se obține cu funcția Airy în coordonate polare; (soluția Mitchell)

$$\boxed{Mitchell : F(r, \theta) = Ar\theta \sin \theta + Br\theta \cos \theta} \quad \text{unde: A,B sunt constante ce urmează a fi}$$

determinate din condițiile la limită (pe frontieră) $S_\sigma \cup S_u$. De fapt frontieră S_u nu intervine, fixarea panei fiind presupusă a fi departe de vârful acesteia.

➤ Com:

$$\sigma_x = \frac{\partial^2 F}{\partial y^2} \underset{\text{coordonate}}{\underset{\text{polare}}{\Rightarrow}} \sigma_r = \frac{1}{r} \frac{\partial F}{\partial r} + \frac{1}{r^2} \frac{\partial^2 F}{\partial \theta^2}$$

$$\sigma_y = \frac{\partial^2 F}{\partial x^2}$$

$$\tau_{xy} = \frac{\partial^2 F}{\partial x \partial y}$$

➤ Ex.6.10 : Urmând comentariul de mai sus obțineți expresiile tensiunilor

$$\underline{\underline{\sigma}}_{PP} = \begin{Bmatrix} \sigma_r \\ \sigma_\theta \\ \tau_{r\theta} \end{Bmatrix} \text{ sub forma generală:}$$

$$\left. \begin{array}{l} \sigma_r = \frac{1}{r} \frac{\partial F}{\partial r} + \frac{1}{r^2} \frac{\partial^2 F}{\partial \theta^2} \\ \sigma_\theta = \frac{\partial^2 F}{\partial r^2} \\ \tau_{r\theta} = -\frac{\partial}{\partial r} \left[\frac{1}{r} \frac{\partial F}{\partial \theta} \right] \end{array} \right\} \text{Airy} \mid \text{coordonate} \quad \text{polare}$$

și , folosind soluția Mitchell, să se obțină rezultatele: $\left. \begin{array}{l} \sigma_r = \frac{2}{r} (A \cos \theta + B \sin \theta) \\ \sigma_\theta = 0 \\ \tau_{r\theta} = 0 \end{array} \right\}$

➤ Ex.6.11: Arătați că soluția de mai sus satisfac ec. S1(PP,polare) oricare ar fi A și B în absența forțelor masice.

➤ Ex. 6.12: Să se determine (precizeze) constantele A și B impunând condițiile la limită (pe frontieră S_σ).

Indicație: Vom folosi direct ecuațiile de echilibru ale sectorului ORS-fig. 6.5

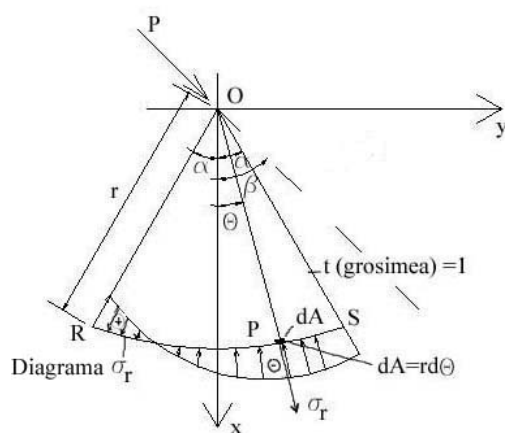


Fig. 6.5: Pentru ecuațiile de echilibru al sectorului de cerc ORS

$$\left\{ \begin{array}{l} \downarrow \sum X = 0 = P \cos \beta + \int_{-\alpha}^{\alpha} (\sigma_r r d\theta) \cos \theta \\ \rightarrow \sum Y = 0 = P \sin \beta + \int_{-\alpha}^{\alpha} (\sigma_r r d\theta) \sin \theta \end{array} \right.$$

Necunoscute : A și B

Rezultă : $A = -\frac{P \cos \beta}{2\alpha + \sin 2\alpha}$ $B = -\frac{P \sin \beta}{2\alpha - \sin 2\alpha}$

Soluția: $\sigma_r = \frac{2}{r} (A \cos \theta + B \sin \theta) = -\frac{2P}{r} \left[\frac{\cos \theta \cos \beta}{2\alpha + \sin 2\alpha} + \frac{\sin \theta \sin \beta}{2\alpha - \sin 2\alpha} \right]; \quad \sigma_\theta = \tau_{r\theta} = 0$

➤ Com: mărimea α se introduce în radiani !